

# El sistema de Lorenz, l'aplicació de Poincaré i òrbites periòdiques inestables

Universitat Politècnica de Catalunya

---

Ferran Delgà Fernández

Maig 2021

En aquesta pràctica estudiarem la dinàmica del sistema de Lorenz. El sistema en qüestió és el següent:

$$\begin{aligned}\dot{x} &= \sigma(y - x) \\ \dot{y} &= rx - y - zx \\ \dot{z} &= -bz + xy\end{aligned}$$

Prendrem els valors;  $\sigma = 10$  i  $b = 8/3$ . Explorarem valors de  $r$  entre 0 i 25.

El primer que farem serà buscar punts d'equilibri i si aquests presenten bifurcacions per diferents valors de  $r$ .

Els punts d'equilibri es poden trobar de forma analítica:

Imposem

$$\begin{aligned}\dot{x} = 0 &\implies x = y \\ \dot{y} = 0 &\implies rx - y - zx = 0 \implies (r + 1)x - zx = 0 \implies \boxed{z = r + 1} \\ \dot{z} = 0 &\implies bz = x^2 = y^2 \longrightarrow \boxed{x = y = \pm\sqrt{b(r - 1)}}\end{aligned}$$

Per tant tenim:

$$x_0 = (0, 0, 0)$$

solució trivial del sistema i punt d'equilibri definit per tot  $r \geq 0$ .

També tindrem:

$$q_{\pm} = (\pm\sqrt{b(r - 1)}, \pm\sqrt{b(r - 1)}, r - 1)$$

punts d'equilibri definits quan  $r > 1$ .

Estudiarem ara el caràcter d'aquests punts d'equilibri pels diferents valors de  $r$ . Busquem doncs, la matriu  $Df$  del sistema:

$$Df = \begin{pmatrix} -\sigma & \sigma & 0 \\ r - z & -1 & -x \\ y & x & -b \end{pmatrix}$$

Estudiem els valors propis d'aquesta matriu evaluada en els punts d'equilibri:

$$\boxed{x_0 = (0, 0, 0)}$$

Tenim  $Df_{x_0} = \begin{pmatrix} -\sigma & \sigma & 0 \\ r & -1 & 0 \\ 0 & 0 & -b \end{pmatrix}$ . Calculant el polinomi caracterísic, obtenim:

$$p_{\text{char}}(\lambda) = (b + \lambda)(-\lambda^2 - (\sigma + 1)\lambda + (r - 1)\sigma) = 0$$

Les arrels del qual són:

$$\lambda_1 = -b, \quad \lambda_{\pm} = \frac{-\sigma - 1 \pm \sqrt{\sigma^2 + 2\sigma(2r - 1) + 1}}{2}$$

Si  $\boxed{0 < r < 1}$  aleshores tots els valors propis són amb part real negativa i per tant, el punt  $x_0 = (0, 0, 0)$  és linealment estable.

Fixem-nos que en  $\boxed{r = 1}$ , tenim:

$$\begin{aligned} \lambda_1 &= -b \\ \lambda_+ &= \frac{-\sigma - 1 + \sqrt{\sigma^2 + 2\sigma + 1}}{2} = \frac{-\sigma - 1 + \sqrt{(\sigma + 1)^2}}{2} = 0 \\ \lambda_- &= \frac{-\sigma - 1 - \sqrt{\sigma^2 + 2\sigma + 1}}{2} = \frac{-\sigma - 1 - \sqrt{(\sigma + 1)^2}}{2} = -\sigma - 1 \end{aligned}$$

Per  $\boxed{r > 1}$  l'origen és inestable, ja que el valor propi  $\lambda_+$  té part real positiva.

Hem vist doncs, que a  $r = 1$  l'origen passa de ser estable a ser inestable, i a més, tal i com hem vist en l'estudi dels punts d'equilibri, apareixen dos punts d'equilibri més  $q_{\pm}$ . Anem a comprovar l'estabilitat en aquests punts:

$$\boxed{q_{\pm} = (\pm\sqrt{b(r-1)}, \pm\sqrt{b(r-1)}, r-1), \quad r > 1}$$

Evaluem la matriu  $Df$  en els punts:

$$Df_{q_{\pm}} = \begin{pmatrix} -\sigma & \sigma & 0 \\ 1 & -1 & \pm\sqrt{b(r-1)} \\ \pm\sqrt{b(r-1)} & \pm\sqrt{b(r-1)} & -b \end{pmatrix}$$

El polinomi característic per  $q_{\pm}$  és:

$$p_{\text{char}}(\mu) = \mu^3 + (\sigma + 1 + b)\mu^2 + \mu b(\sigma + r) + 2b\sigma(r - 1)$$

Notem que si derivem aquesta expressió ens queda:

$$p'_{\text{char}}(\mu) = 3\mu^2 + 2(\sigma + 1 + b)\mu + b(\sigma + r) > 0, \quad \forall \mu \geq 0$$

Per  $\mu = 0$  tenim  $p_{\text{char}}(0) > 0$ . Com que és un polinomi de grau 3 i el coeficient de grau tres és positiu, podem deduir que **totes les seves arrels reals són negatives**, i que almenys una d'elles és real. Sigui  $\mu_1 < 0$  aquest valor propi real i siguin  $\mu_{\pm} = \alpha \pm i\gamma$  els valors propis conjugats.

Notem que en  $r = 1.2$ , els tres valors propis són reals i en canvi en  $r = 1.4$ , ja tenim un de real i dos de complexos conjugats. Amb una petita cerca dicotòmica podem trobar que en aproximadament  $r = 1.345617179251390e + 00$  els valors propis passen de ser reals a complexos. Sigui aquest valor  $r_1$ . Per  $r < r_1$ , els punts d'equilibri  $q_{\pm}$  són nodes estables.

Arribats a aquest punt, hem confirmat que en  $r = 1$  passem de tenir una solució estable ( $x_0 = (0, 0, 0)$ ) a tenir-ne una d'inestable i dues d'estables (ja que les parts reals dels valors propis prop de  $r = 1$  són negatives). Així doncs, concloem que en  $r = 1$  hi ha una **bifurcació PITCHFORK supercrítica (Q1)**.

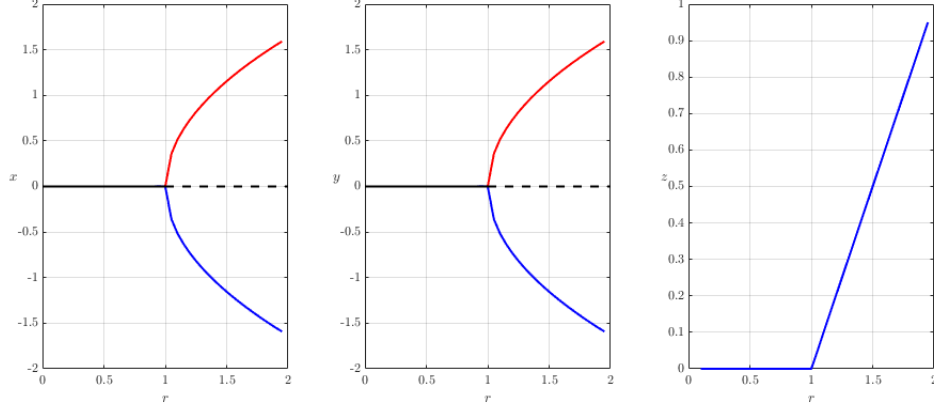


Figura 1: En aquests gràfics podem veure les projeccions en els diferents eixos de la bifurcació de Pitchfork en  $r = 1$ . A partir de  $r = 1$  la línia vermella representa el valor de  $q_+$  en els diferents eixos, i la blava el de  $q_-$ . En el cas de  $z$ , les solucions són la mateixa per  $q_+$  i per  $q_-$ . La línia negra ens indica l'estabilitat de l'origen.

A partir d'aquí, es demana trobar si aquestes bifurcacions presenten una altra bifurcació (Q2 i Q3). Per fer-ho, recuperem el nostre estudi dels punts d'equilibri  $q_{\pm}$ . Considerem la part real dels seus valors propis  $\mu_{\pm} = \alpha \pm i\gamma$ :

Si  $\alpha < 0$  aleshores els tres valors propis tenen part real negativa  $\implies q_{\pm}$  són focus estables.

Si  $\alpha > 0$  aleshores tenim punts de sella.

Si  $\alpha = 0$  aleshores els valors propis són imaginaris purs. Anem a estudiar per quin valor de  $r$  tindrem  $\alpha = 0$ . Ho farem mitjançant el polinomi característic i imposant que l'arrel sigui imaginària pura:

$$\begin{aligned} p_{\text{char}}(i\gamma) &= (i\gamma)^3 + (\sigma + 1 + b)(i\gamma)^2 + (i\gamma)b(\sigma + r) + 2b\sigma(r - 1) = \\ &= -\gamma^3 - (\sigma + 1 + b)\gamma^2 + i(b(\sigma + r) - \gamma^2)\gamma = 0 \end{aligned}$$

Solucionant aquest sistema trobarem la  $r$  per la qual els valors propis complexos són imaginaris purs:

$$\begin{aligned} 2b\sigma(r - 1) - (\sigma + 1 + b)\gamma^2 &= 0 \\ b(\sigma + r) - \gamma^2 &= 0 \end{aligned}$$

D'on obtenim:  $\gamma^2 = b(\sigma + r) \implies r(\sigma - 1 - b) = \sigma(\sigma + b + 3)$ . I per tant, l' $r_c$  crític que estem buscant és:

$$r_c = \frac{\sigma(\sigma + b + 3)}{\sigma - 1 - b} \approx 24.7368421$$

Resumint:

Per  $r < r_c$  els punts  $q_{\pm}$  són estables, ja que tots els valors propis tenen part real negativa.

Per  $r = r_c$  aleshores els valors propis són:

$$\mu_1 = -(\sigma + b + 1) \quad \mu_{\pm} = \pm i \sqrt{\frac{2\sigma(\sigma + 1)}{\sigma - b - 1}}$$

Per  $r > r_c$  els punts  $q_{\pm}$  són inestables.

Tenim doncs, una bifurcació a  $r = r_c$  de tipus **HOPF subcrítica**, ja que els valors propis complexos han passat de tenir part real negativa a positiva. Per veure una pseudorepresentació de la bifurcació: Figures 12 i 13 de l'arxiu `lorenz.m`

Anem a estudiar ara dues situacions ( $r = 18$  i  $r = 21$ ) i trobar els cicles límits inestables que apareixen deguts a la bifurcació de Hopf subcrítica.

Tal i com s'indica a l'enunciat de la pràctica, utilitzem l'aplicació de Poincaré per trobar els punts d'aquesta òrbita. Els detalls de com s'ha procedit numèricament es troben en el fitxer `lorenz.m` inclòs en l'entrega de la pràctica.

Sabem que en  $r < r_c$  els dos punts  $q_{\pm}$  són estables, i per tant tindrem moltes òrbites al voltant d'ells. En ambdues situacions, m'ha resultat més fàcil treballar amb el pla  $\Sigma : \{z = r - 1\}$ . Com que  $q_{\pm}$  estan situats a  $z = r - 1$ , el pla més adequat per trobar els punts que se'ns demanen és aquest.

A partir d'aquí i un cop s'ha escollit un punt inicial suficientment bo i tal que  $x_0 \in \Sigma$  (el que he fet ha estat aplicar la funció de Poincaré un cop a un  $x_0$  "dolent" per acostar-me on hi ha més punts), entra en joc l'aplicació  $P : \Sigma \rightarrow \Sigma$ . Els detalls de la definició d'aquesta aplicació es troben en el fitxer `P.m`. Ara només queda trobar punts fixos d'una nova aplicació  $Q(x) = P(x) - x$ . El fitxer que especifica aquesta funció és `Q.m`.

Per trobar-los he utilitzat la funció `fsolve` del matlab. Els resultats han estat satisfactoris (**Q4**):

$r$	$x$	$y$	$z$	$T$
18.0	1.102657569709761e+01	1.451626702256982e+01	1.7e+01	1.035750974041850e+00
21.0	1.085928029295390e+01	1.393651045483733e+01	2.0e+01	8.162223634995835e-01

Tots els detalls i figures complementàries es poden trobar executant el fitxer `lorenz.m` seguint les pertinents instruccions incloses en el codi.

Per acabar, representem aquestes òrbites:

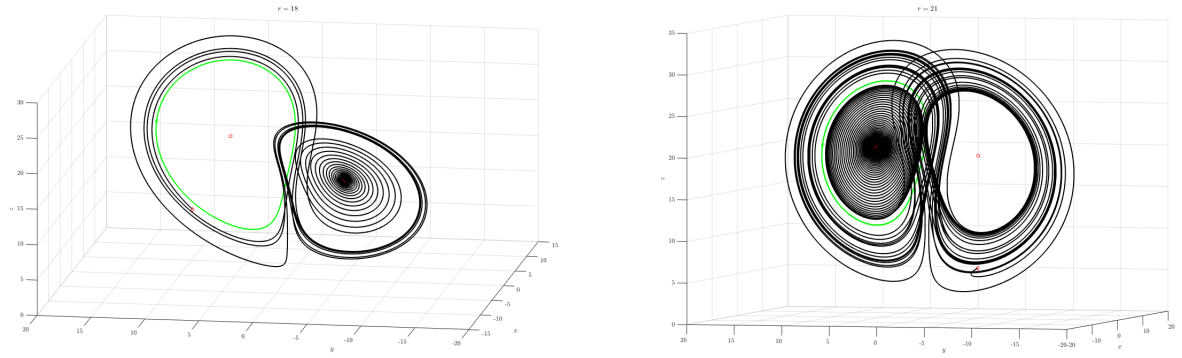


Figura 2: El cicle límit està representat de color verd. Esquerra ( $r = 18$ ): El punt inicial de la trajectòria negra és  $x_0 = [5.5, 10, 7]$ . Dreta ( $r = 21$ ): El punt inicial de la trajectòria negra és  $x_0 = [1, -5, 6]$ .

Tal i com es demana, representem les òrbites en el pla  $xy$ :

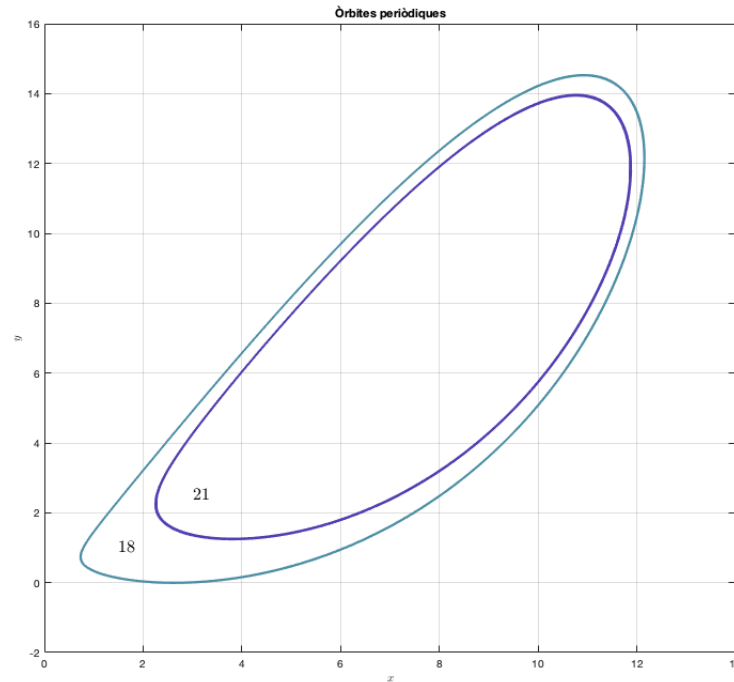


Figura 3: Els nombres indiquen el valor de  $r$  utilitzat per computar les òrbites.

Per acabar, representem els valors  $x(t), y(t), z(t)$  per certificar que evidentment durant un temps suficientment llarg (al ser un estudi numèric el cicle límit no és exacte), tenim període:

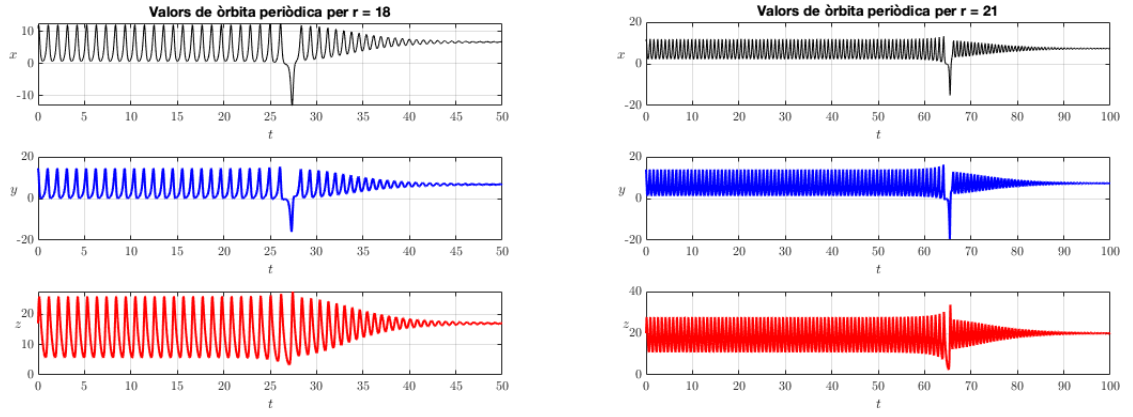


Figura 4: Podem observar com en el primer cas ( $r = 18$ ) el cicle límit es manté aproximadament 27 unitats de temps. Per  $r = 21$  es manté gairebé 65 unitats de temps